МОДЕЛИРОВАНИЕ РОСТА ГРИБНОГО МИЦЕЛИЯ С ПОМОЩЬЮ КЛЕТОЧНОГО АВТОМАТА

Шумилов А.С. ¹, Благодатский С.А. ¹

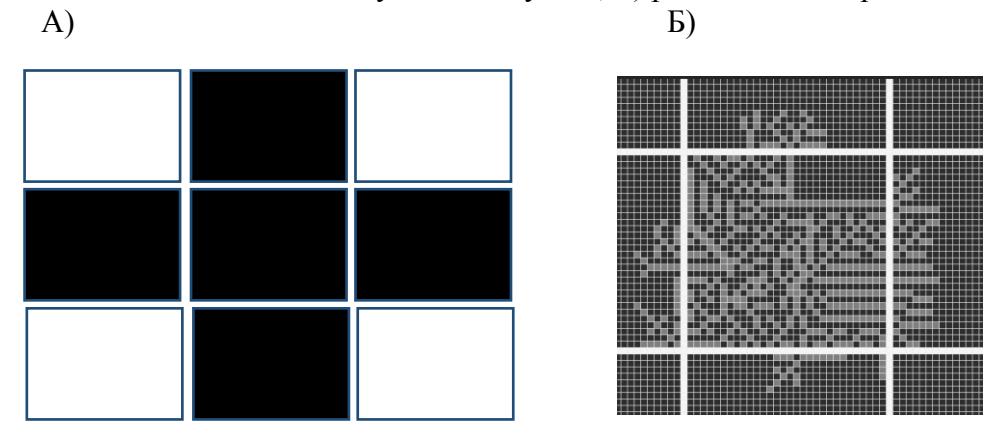
Институт физико-химических и биологических проблем почвоведения, Пущино, Россия terminatorson@gmail.com

Аннотация: гриб растет в направлении большего ресурса Ре. Если его мало, то ищет через однонаправленный рост. Смерть может наступить из за голодания, либо «принятия решения» на «коллективном голосовании», когда одна часть гриба съедает другую .Ре (азот N, фосфор Р, углерод) может транспортироваться между частями гриба. Параметризирована как пространственная, так и метаболическая подмодель.

Условная клетка мицелия – УКМ, представляет в модели участок реального мицелия. УКМ растет к большему Ре. Иначе УКМ пытается выйти на участок богатый Ре путем однонаправленного роста. Ре расходуются на жизнь и рост новых клеток УКМ из старых. Смерть может наступить в результате голодания. Тогда внутренний Ре переходят в среду, если они не были использованы для энергетических целей и дыхания.

Мицелий может расти линейно или ветвиться в зависимости от Pe. УКМ всасывает ресурсы активно и пассивно. Апикальная часть всасывает ресурсы на пять порядков быстрее. Это происходит из-за инсуляции зрелых гифов. УКМ может потреблять больше Pe, чем ему надо на данный момент. Они могут трансформироваться, переходя из внешнего ресурса во внутренний,либо транспортируются в нуждающуюся в этом дочернюю клетку. В случае роста в агаре (Ritz 1995) модель может повторить рисунок роста триходермы.

Рис.1. Рост триходермы крестом в системе агар – воздушные ловушки. А)Темные клетки- агар, более светлые (серые)- мицелий белое пространство между темным блоками- воздушные ловушки; Б) рост мицелия крестом в модели.



Формула для ресурса, транспортируемого в материнскую клетку УКМ:

$$m_{transpInToMather} = \frac{\left\{ \left(\pi (Q_{step}*L_{step})^2 - 2\pi \left(Q_{step}*L_{step}\right)\right\} (s-s*s_{invert})*(1-\pounds)K_{res}*V_{max}}{(Km+s)K_{\min}}$$
 (1) Формула 1.

Таблица 1 – Параметры модели

параметр	P	N	Ссылки примечания
£ - коэффециэнт инсуляции	0,1	-	Ames, Reid et al. 1983, Gow
			and Gadd 2007

V _m максимальная скорость работы фермента	0,018	-	Cazelles, Otten et al. 2013
К _т - константа Михаэлиса	1,1*10 ⁻¹²	-	Cazelles, Otten et al. 2013
K _{res} –степень инсуляции	1	-	Ames, Reid et al. 1983
K _{miner} –минерализация	1	-	Schimel and Bennett 2004, Маслов 2014
s _{invert} –обратный отток элемента наружу	0	0,5	Kaiser, Franklin et al. 2014
Q _{step} -Количество шагов модели			
L _{step} -длинна шага модели	0,1 мм	-	
s-концентрация субстрата, процентов от массы почвы	0,00125	0,005	Ames, Reid et al. 1983

Параметризация метаболической подмодели проводилась на основании данных по транспорту фосфора и азота по мицелию гриба в микоризе по статье (Ames, Reid et al. 1983). При пересчете получаем, что за три дня транспортируемый фосфор составил 0,003489 на одну десятую мм гифа гриба в процентах от массы почвы (0,1 %мп) в предположении, что 10% гифов инсулированы, при расчете по вышеупомянутой формуле мы получаем количество переданного азота, равное 0,0032 0,1 %мп. 35 и 32 – сравнимые величины. При расчете транспорта азота мы принимали, что его передача растению из почвы затруднена по двум причинам: минерализация и обратный выброс азота в виде ферментов для переваривания субстрата – параметры K_{miner} и S_{invert} , которые не играли роди в случае с расчетом транспорта фосфора. Действительно, в статье (Kaiser, Franklin et al. 2014) говорится о том, что поток фосфора через растение настолько быстр, что не может быть лимитирующим фактором в модели взаимодействия корень – мицелий в микоризе. Что касается достаточно сильного влияния минерализации на доступность азота, которая следует из вычислений по модели, то в литературе есть предположение, что чем доступнее азот и меньше конкуренция, тем выше значение минерализации азота перед его потреблением растением (Schimel and Bennett 2004). В статье мы получили 0,0039 0,1 %мп, а в модели 0,0037 0,1 %мп, что тоже схоже между собой.

Литература

Ames, R., et al. (1983). "Hyphal uptake and transport of nitrogen from two 15N-labelled sources by Glomus mosseae, a vesicular-arbuscular mycorrhizal fungus." New Phytologist **95**(3): 381-396.

Cazelles, K., et al. (2013). "Soil fungal dynamics: Parameterisation and sensitivity analysis of modelled physiological processes, soil architecture and carbon distribution." <u>Ecological modelling</u> **248**: 165-173.

Gow, N. A. and G. M. Gadd (2007). Growing fungus, Springer Science & Business Media.

Kaiser, C., et al. (2014). "Microbial community dynamics alleviate stoichiometric constraints during litter decay." <u>Ecology letters</u> **17**(6): 680-690.

Ritz, K. (1995). "Growth responses of some soil fungi to spatially heterogeneous nutrients." <u>FEMS Microbiology</u> Ecology **16**(4): 269-279.

Schimel, J. P. and J. Bennett (2004). "Nitrogen mineralization: challenges of a changing paradigm." <u>Ecology</u> **85**(3): 591-602.

Маслов, М. Н. (2014). "УГЛЕРОД, АЗОТ И ФОСФОР МИКРОБНОЙ БИОМАССЫ В ТУНДРОВЫХ ПОЧВАХ СЕВЕРНОЙ ФЕННОСКАНДИИ." Вестник Московского государственного областного университета. Серия: <u>Естественные науки</u>(2): 46-51.